



# 中华人民共和国国家标准

GB/T 14863—93

## 用栅控和非栅控二极管的 电压-电容关系测定硅外延层中 净载流子浓度的标准方法

Standard test method for net carrier density in silicon epitaxial  
layers by voltage-capacitance of gated and ungated diodes



1993-12-30发布

1994-10-01实施

国家技术监督局发布

国标

中华人民共和国  
国家标 准  
用栅控和非栅控二极管的  
电压-电容关系测定硅外延层中  
净载流子浓度的标准方法

GB/T 14863—93

\*

中国标准出版社出版  
(北京复外三里河)

中国标准出版社北京印刷厂印刷  
新华书店北京发行所发行 各地新华书店经售

版权专有 不得翻印

\*

开本 880×1230 1/16 印张 3/4 字数 19 千字  
1994 年 7 月第一版 1994 年 7 月第一次印刷  
印数 1—1 500

\*

书号：155066·1-10811 定价 3.00 元

\*

标 目 244—31

中华人民共和国国家标准



C9502417

# 用栅控和非栅控二极管的 电压-电容关系测定硅外延层中 净载流子浓度的标准方法

GB/T 14863—93

Standard test method for net carrier density in silicon epitaxial  
layers by voltage-capacitance of gated and ungated diodes

## 1 主题内容与适用范围

本标准规定了用栅控和非栅控二极管的电压-电容关系测定硅外延层中净载流子浓度的原理、仪器与材料、样品制备、测量步骤和数据处理。

本标准适用于外延层厚度不小于某一最小厚度值(见附录 B)的相同或相反导电类型衬底上的 n 型或 p 型外延层，也适用于体材料。

## 2 引用标准

SJ 1550 用三探针击穿电压法测定硅外延层的电阻率

## 3 术语

### 3.1 击穿电压

被测二极管出现  $10 \mu\text{A}$  漏电流时的反向偏压。



## 4 方法原理

4.1 测量栅控或非栅控 p-n 结或肖特基二极管的小讯号高频电容与反向偏压的函数关系，由所测电容和反向偏压值确定净载流子浓度与深度的函数关系。对于栅控二极管的测量，栅极加一恒定偏压。

## 5 仪器与材料

### 5.1 电容电桥或电容计

量程满刻度为  $1 \sim 1000 \text{ pF}$ ，以十倍增大或减小。测量频率范围为  $0.09 \sim 1.1 \text{ MHz}$ ，每个量程精度优于满刻度的  $1.0\%$ ，重复性优于满刻度的  $0.25\%$ 。仪器应能承受  $\pm 200 \text{ V}$  或更高的外加直流偏压，能补偿不低于  $5 \text{ pF}$  的外部探针架的杂散电容，内部交流测量讯号不大于  $0.05 \text{ V(r, m.s.)}$ 。

### 5.2 数字电压表或电位计

其灵敏度优于  $1 \text{ mV}$ ，精度优于满刻度的  $0.5\%$ ，重复性优于满刻度的  $0.25\%$ ，输入阻抗不小于  $100 \text{ M}\Omega$ ，以及在  $50 \text{ Hz}$  时共模抑制比高于  $100 \text{ dB}$ 。

### 5.3 直流电源

连续可调，能提供  $0 \sim \pm 200 \text{ V}$ (开路)，纹波低于  $1\%$ 的直流输出。

### 5.4 曲线图示仪

能监控二极管的正反向 I-V 特性。该曲线图示仪在  $0.1 \text{ mA}$  时反向能加到  $200 \text{ V}$ ，在正向  $1 \text{ mA}$  时国家技术监督局 1993-12-30 批准

1994-10-01 实施

能加到 1.1 V;且灵敏度优于  $10 \mu\text{A}/\text{分度}$ 。

### 5.5 标准电容

在测量频率下,精度优于 0.25%;一个电容应在  $1\sim 10 \text{ pF}$  范围内,而另一电容应在  $10\sim 100 \text{ pF}$  范围。

### 5.6 精密电压源

能提供  $0\sim 200 \text{ V}$  输出电压,其精度应优于输出电压的 0.1%。

### 5.7 探针架

固定二极管样品,能使探针与扩散区或势垒区,外延层以及栅控二极管的栅极构成欧姆接触,并能在测量时使二极管不受光照。应备有真空夹具。对反型外延层的接触采用正表面接触,而对同型外延层,则采用真空吸盘与衬底构成电接触。

### 5.8 工具显微镜、投影仪或求积仪

能测量结直径,其精度优于 0.5%;或者测量结面积,其精度优于 1.0%。

### 5.9 屏蔽电缆

实现探针台、电源、电容电桥或电容计以及数字电压表或电位差计之间的电连接。

### 5.10 直流电压源

连续可调,输出电压为  $0\sim \pm 40 \text{ V}$  范围,直流输出的纹波不大于 1%(测量非栅控二极管不需要此电源)。

## 6 样品制备

6.1 要根据外延层和衬底导电类型相同还是相反,分别采用附录 A(补充件)A1 或 A2 测量外延层厚度;估计待测外延层的载流子浓度。

6.2 在被测外延层上制造栅控的或非栅控的二极管(样品结构参考附录 D),其有源区的面积为  $5 \times 10^{-4}\sim 5 \times 10^{-2} \text{ cm}^2$ (对于圆形有源区,该面积对应于  $0.025\sim 0.138 \text{ cm}$  范围直径)。

6.3 制备结型二极管,其表面载流子浓度至少是外延层载流子浓度的 100 倍,结深小于  $1.5 \mu\text{m}$ 。其结深按照附录 A(补充件)A2 测量并记录,按照附录 A(补充件)A3 或其他合适的方法测量并记录薄层电阻;根据 SJ1550 由薄层电阻和结深确定和记录表面载流子浓度。

6.4 制作栅控二极管,使栅极与结区或肖特基接触区边界相重叠。栅击穿电压  $V_{GB} > 20 \text{ V}$ 。

6.5 如果使用方法 B(见 7.9.1)为测定栅控二极管的栅偏压,还要在未扩散的外延层区域上制作一个 MOS 电容器。

## 7 测量步骤

### 7.1 测量仪器的校准。

7.1.1 为了测量标准电容,把长度适当的屏蔽电缆连接到电容电桥或电容计上。在电容电桥或电容计只连接电缆而不连接标准电容的情况下调零。

7.1.2 将电缆连接到一个标准电容上,测量并记录电容值( $\text{pF}$ )。然后拆去电容器。

7.1.3 将电缆连接到另一个标准电容上,测量并记录电容值( $\text{pF}$ )。然后拆去电容器。

7.1.4 检查数字电压表或电位计在  $1\sim 200 \text{ V}$  内的性能,用它测量这个电压范围内精密电压源的五个以上电压。

7.1.5 如果电容或电压测量仪器不符合所要求的指标(数值见 5.1 和 5.2),则需要按相应的仪器说明书进行必要的调节,使仪器在测量样品前符合所要求的指标。

7.2 根据所用测量仪器的类型,测量并记录有源器件面积( $\text{cm}^2$ ),精确到 1%,或测量并记录器件的直径( $\text{cm}$ )精确到 0.5%。

7.3 把样品放到探针台上,将探针台和尽可能接近有源区的外延层进行电连接(对相同导电类型衬底,

外延层的连接从衬底上引出)。

7.4 用探针与二极管的势垒区或扩散区构成电连接。应小心避免因探针压力太大而穿透浅扩散二极管的扩散层，引起短路或产生过大的漏电流。

7.5 用屏蔽电缆连接探针台和图示仪(见 5.4)。

7.6 在 1 V 正偏压下, 按下述步骤测量二极管的正向电阻  $R(\Omega)$ 。

7.6.1 测量并记录 0.9 V 正向偏压时二极管的电流, mA。

7.6.2 测量并记录 1.1 V 正向偏压时二极管的电流, mA。

7.6.3 按下式计算并记录  $R$  值:

式中： $I_2$ ——1.1V 正向偏压时的电流，mA；

$I_1$ —0.9 V 正向偏压时的电流, mA。

7.6.4 因为  $R$  值等于或大于  $200 \Omega$  时,会在一些电容测量仪器中引进测量误差。为了使样品的正向电阻低于  $200 \Omega$ ,需要使用合金,扩散或金属化的电接触。

7.7 用同一图示仪给测试二极管加反偏压, 测量并记录击穿电压  $V_B(V)$ (见 3.1)。加偏压时不可与探针接触。

7.8 将加到探针上的电压降到零，并提起探针，使它与势垒或扩散层的连接断开，如果测量非栅控二极管，就按步骤 7.9 进行。

7.8.1 如果要测量栅控二极管,将探针下降与栅极接触。用图示仪在栅极和外延层之间加电压 $+(V_B + 20)V$  和 $-(V_B + 20)V$ 。校验两电压时的电流值是否小于 $10 \mu A$ 。如果电流等于或小于 $10 \mu A$ ,则图示仪的电压将为零,并按步骤 7.9 测量;如果电流大于 $10 \mu A$ ,则在外延片上选择用另外二极管,从 7.2 开始重复该程序。

7.8.2 如果 7.8.1 操作中出现栅击穿, 将图示仪电压降为零。然后将探针降到一备用二极管上, 在栅极和外延层间逐渐增加图示仪的电压, 记录发生栅击穿时的电压值。用此方法测量三个以上的二极管, 计算并记录平均击穿电压(V)作为典型的栅击穿电压  $V_{GB}$ 。

7.9 断开探针和图示仪之间的屏蔽电缆。如果测量非栅控二极管，则按步骤 7.10 进行。

7.9.1 如测量棚控二极管,可用方法 A 或 B 确定合适的棚偏压。一般采用方法 A。需要更高精度时,应采用方法 B。

7.9.1.1 方法 A: $n$  型外延层选用 +20 V 的栅偏压, 而  $p$  型外延层则选用 -20V 栅偏压。如果在小于 20 V 的电压下发生栅击穿, 就不能使用该方法。

7.9.1.2 方法 B: 使用外延片上制作的 MOS 电容器测量平带电压。用平带电压作为栅偏压。

7.10 在探针台与电容电桥或电容计之间连接屏蔽电缆,使电桥或电容计的低端与外延层或衬底连接(见 7.3),而高端与接触势垒区或扩散区的探针连接。如测非栅控二极管,就按步骤 7.11 进行。

7.10.1 如果测量棚控二极管,用另一根屏蔽电缆连接电源(见 5.10)和与棚极接触的探针,降低探针与棚极相接触,并按 7.9.1 确定在棚极探针与地之间加上合适的棚偏压。在任何情况下均应使电缆尽可能短。在棚有缺陷的情况下,可用一个串联电阻作为一个限流器。在这种情况下,用一个  $0.1 \mu\text{F}$  电容器接在棚和地之间,以保证棚交流接地。

7.11 电容电桥或电容计的调零方法如下：

7.11.1 加上一个额定的 1 V 反向偏压, 把电容电桥或电容计设定在最不灵敏的量程上, 慢慢地降下探针使它正好与被测二极管的垫垒区或扩散区接触, 由电容电桥或电容计的正向偏转判断接触点情况。

7.11.2 选择电容电桥或电容计到指示不超过满刻度的最灵敏量程。

7.11.3 提高探针,使其与势垒或扩散区的电接触刚好断开。

7.11.4 调节电容电桥或电容计，使其在所选定的量程（仪器的精度之内）的指示为零。

7.12 探针下降与势垒或扩散区接触。对被测二极管加上额定的1V反向偏压，并测量其电容(pF)。所加电压和所测电容(每个值不低于三位有效数字)在数据表(见附录C)中分别记录为 $V_1$ 和 $C_1$ ，以后每次的电压和电容值也要记入该表中。表C1表示增量法(8.3.1)所用的样品数据表的格式，表C2表示曲线拟合法(8.3.2)所用的样品数据表的格式。尽管涉及到反向偏压，但所有电压都看作为正值。

7.13 调节电压,得到比前一电容值低4%~6%的一个新电容值。该电压和电容值(每个值不低于三位有效数字)在数据表中分别记录为 $V_2$ 和 $C_2$ 。当加上偏压时不可与探针接触。

7.14 重复 7.13 所述操作步骤,使电容逐次下降 4%~6%,直至达到击穿电压或电容值开始随反向偏压的增大而增大时为止。测量栅控二极管,且栅极不能承受 7.8.1 中土( $V_B+20$ )V 的电位,则在电压不大于( $|V_{GB}| - |V_G| - 5$ )时就停止测量。式中  $V_{GB}$  是 7.8.2 所测定的栅击穿电压,  $V_G$  是 7.9.1.1 或 7.9.1.2 所确定的外加栅偏压,而 5 V 是防止栅极击穿的安全余量。当测量程序结束时,将所有偏压降到零,提高探针,并将样品从探针台上取下。对于增量法至少要使用四个数据点,而曲线拟合法,数据点的数目要与预期拟合的阶数相一致。

8 计算

8.1 如果 7.2 中测量的是二极管直径而不是二极管面积，则按下式计算二极管的面积 ( $\text{cm}^2$ )：

式中:  $A$ —二极管面积,  $\text{cm}^2$ ;

*d*——直径, cm。

8.2 周边的修正,如果被测二极管是用平面扩散(与台面相反)工艺制成的 p-n 结,对每个被测电容值  $C_i$  进行如下的计算,从被测电容值中减去周边或边缘的电容,并记录其结果。其他按 8.3 所述步骤进行。

### 8.2.1 用下列关系式计算并记录耗尽层宽度 $X_0$ (cm)估计值:

式中:  $C_i$ —第  $i$  个测量的电容, pF。

8.2.2 用下列关系式,计算并记录与所测电容  $C_i$  相对应的第  $i$  个周边电容的估算值  $C_{pi}$  (pF)

$$C_{pi} = \frac{5.793 \cdot 1A^{1/2}}{\ln[(1 + X_0/X_i)/(1 + 4X_0/(3.544 \cdot 9A^{1/2} + 4X_i))]} \quad \dots \dots \dots (4)$$

式中:  $X_i$ —结深, cm(见 6.3)。

8.2.3 用下列关系式,计算并记录被修正电容的估算值  $C_{ci}$ (pF):

8.2.4 用下列关系式,计算并记录耗尽层宽度的新的估算值  $X_1$ (cm):

8.2.5 用下列关系式,计算并记录老的和新的耗尽层宽度估算值间的差  $X_2$ (cm):

### 8.2.6 将 $X_2$ 值与 0.0001 相比较：

8.2.6.1 如果  $X_i \leq 0.0001$ , 则将 8.2.3 中记录的  $C_{ci}$  值记入数据表中。

8.2.6.2 如果  $X_2 \geq 0.0001$ , 设  $X_0 = X_1$ , 然后按 8.2.2~8.2.6 计算和记录一个新的耗尽层宽度和周边电容的估算值。重复 8.2.2~8.2.6, 直到满足 8.2.6 的条件。

### 8.3 载流子浓度剖面分布的计算

### 8.3.1 增量法

8.3.1.1 使用下列关系式计算  $S_i$ ,  $i$  从 1 到  $n-3$ , 并记录在数据表中(见表 C1), 其中  $n$  是上面所测的电容-电压数据对的数目:

式中:  $V_i$  ——第  $i$  个记录的电压, V;

$V_{i+3}$ ——第*i*+3个记录的电压,V;

$C_i$ ——按要求(见 8.2)进行周边电容修正的第  $i$  个电容记录值, pF;

$C_{i+3}$ ——第*i+3*个进行修正的电容记录值,pF。

8.3.1.2 用下列关系式计算并在数据表中记录对应于每个电容值  $C_i$  的深度  $W_i$ ( $\mu\text{m}$ )：

8.3.1.3 用下列关系式计算平均深度  $W'_{\text{av}}$ , 并在数据表中记录,  $i$  从 1 到  $n-3$ :

$$W'{}_i = \left[ \frac{(W_{i+3})^{s_i} - (W_i)^{s_i}}{S_i(W_{i+3} - W_i)} \right]^{1/(s_i-1)} \quad \dots \dots \dots \quad (10)$$

8.3.1.4 用下列关系式计算并在数据表中记录对应于每个平均深度  $W_i$  的载流子密度  $N_i$ :

8.3.1.5 计算每个  $W'$  值加上结深的真实深度  $W'_{\text{d}}$ ，并记录在数据表中。

### 8.3.2 曲线拟合法

### 8.3.2.1 将具有下列形式的多项式函数与数据相拟合：

式中:  $C_{fi}$  ——根据拟合计算得第  $i$  个电容值, pF;

$a_0 \dots a_k$  ——对所有  $i$  值使表达式  $(C_i - C_{fi})^2$  为最小时所确定的系数值,  $C_i$  按要求用周边电容修正(见 8.2);

$v_i$ —— $V_i + 0.600$ ,  $V_i$ 是第  $i$  个记录的电压测量值,V;

$k$  — 多项式的阶数, 对所有的  $i$  值, 所选  $k$  值代表对  $|C_i - C_{fi}|/C_i \leq 0.01$  最低阶拟合, 且  $k \leq n - 1$ ; 其中  $n$  为所测电容-电压数据的点数。

8.3.2.2 在数据表中(见表C2)记录  $C_{fi}$  和  $a_0, a_1 \dots a_k'$  的值。

8.3.2.3 用下列关系式计算 8.3.2.1 中多项式的导数  $D_i$ , 并记录于数据表中:

注意如果使用阶次高于 3 的多项式，则所计算的载流子浓度中，可产生误差起伏。

8.3.2.4 用下列关系式计算与每个耗尽层宽度相对应的载流子浓度，并记录于数据表中：

9 报告

### 9.1 报告应包括下列内容：

- 9.1.1 操作者。
  - 9.1.2 测量日期。
  - 9.1.3 批号,晶片和二极管的抽样方案(如果适用的话)。
  - 9.1.4 样品编号和类型。
  - 9.1.5 二极管制造工艺及栅控还是非栅控。
  - 9.1.6 扩散二极管的结深,  $\mu\text{m}$ 。
  - 9.1.7 二极管的正向电阻,  $\Omega$ 。
  - 9.1.8 二极管的面积,  $\text{cm}^2$ 。
  - 9.1.9 栅控二极管的栅偏压,  $\text{V}$ 。
  - 9.1.10 使用的计算方法。
  - 9.1.11 把数据列入表C1(增量法)或表C2(曲线拟合法)所示的数据表中。
  - 9.1.12 计算的载流子密度,  $\text{cm}^{-3}$ 。

10 方法精度

10.1 对载流子浓度低于  $1 \times 10^{16} \text{ cm}^{-3}$  的样品，指定三个深度测量，这些深度选在分布相对平坦的部分；对载流子浓度大于  $1 \times 10^{16} \text{ cm}^{-3}$  的两个样品的两个深度测量。根据六个实验室，每个实验室三天中每天测量的七个样品的初步分析，其精确度( $2\sigma$ )为 4.6%~17.4%。统计数据列于附录 E。

**附录 A**  
**引用的国外标准**  
**(补充件)**

- A1** ASTM F95<sup>1)</sup> 用红外反射法测量相同型号衬底上硅外延层厚度  
**A2** ASTM F110<sup>1)</sup> 用磨角和染色技术测量硅外延层或扩散层厚度  
**A3** ASTM F374<sup>1)</sup> 用直线四探针测量硅外延层、扩散层、离子注入层的薄层电阻

注：1) 引自 SEMI 标准第 6 卷，译文由中国标准出版社出版。

**附录 B**  
**载流子浓度与耗尽宽度的关系曲线**  
**(补充件)**

- B1** 硅单边突变结载流子浓度与耗尽宽度的关系曲线

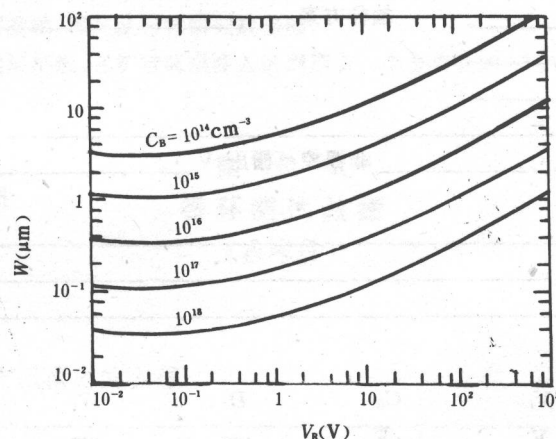


图 B1 单边突变结近似下耗尽区宽度与反偏压的关系(硅, 300°K)

**附录 C**  
**数据记录表**  
**(补充件)**

**C1 增量法表格**

表 C1 增量法的实验数据表格

操作者 _____	批号 _____
日期 _____	抽样方案 _____
样品 _____	
型号 _____	
二极管制造工艺 _____	
栅控 _____	非栅控 棚压, V _____
结深, μm _____	
正向电阻, Ω _____	

二极管面积,  $\text{cm}^2$ 

$C_i$ pF	$C_{ci}$ pF	$V_i$ V	$S_i$	$W_i$ $\mu\text{m}$	$W'_i$ $\mu\text{m}$	$N_i$ $\text{cm}^{-3}$	$W_u$ $\mu\text{m}$
$C_1$	$C_{c1}$	$V_1$	$S_1$	$W_1$	$W'_{1}$	$N_1$	$W_{t1}$
$C_2$	$C_{c2}$	$V_2$	$S_2$	$W_2$	$W'_{2}$	$N_2$	$W_{t2}$
$C_3$	$C_{c3}$	$V_3$	$S_3$	$W_3$	$W'_{3}$	$N_3$	$W_{t3}$
:	:	:	:	:	:	:	:
$C_{n-3}$	$C_{cn-3}$	$V_{n-3}$	$S_{n-3}$	$W_{n-3}$	$W'_{n-3}$	$N_{n-3}$	$W_{tn-3}$
$C_{n-2}$	$C_{cn-2}$	$V_{n-2}$		$W_{n-2}$			
$C_{n-1}$	$C_{cn-1}$	$V_{n-1}$		$W_{n-1}$			
$C_n$	$C_{cn}$	$V_n$		$W_n$			

## C2 曲线拟合法表格

表 C2 曲线拟合法的实验数据表格

操作者\_\_\_\_\_ 批号\_\_\_\_\_

日期\_\_\_\_\_ 抽样方案\_\_\_\_\_

样品\_\_\_\_\_

型号\_\_\_\_\_

二极管制造工艺\_\_\_\_\_

栅控\_\_\_\_\_ 非栅控 棚压, V \_\_\_\_\_

拟合系数

结深,  $\mu\text{m}$  \_\_\_\_\_  $a_0$ 正向电阻,  $\Omega$  \_\_\_\_\_  $a_1$ 二极管面积,  $\text{cm}^2$  \_\_\_\_\_  $a_2$ 

:

 $a_k$ 

$C_i$ pF	$C_{ci}$ pF	$V_i$ V	$C_{fi}$ pF	$D_i$ $\mu\text{m}$	$W_i$ $\mu\text{m}$	$N_i$ $\text{cm}^{-3}$	$W_u$ $\mu\text{m}$
$C_1$	$C_{c1}$	$V_1$	$C_{f1}$	$D_1$	$W_1$	$N_1$	$W_{t1}$
$C_2$	$C_{c2}$	$V_2$	$C_{f2}$	$D_2$	$W_2$	$N_2$	$W_{t2}$
$C_3$	$C_{c3}$	$V_3$	$C_{f3}$	$D_3$	$W_3$	$N_3$	$W_{t3}$
:	:	:	:	:	:	:	:
$C_{n-3}$	$C_{cn-3}$	$V_{n-3}$	$C_{fn-3}$	$D_{n-3}$	$W_{n-3}$	$N_{n-3}$	$W_{tn-3}$
$C_{n-2}$	$C_{cn-2}$	$V_{n-2}$	$C_{fn-2}$	$D_{n-2}$			
$C_{n-1}$	$C_{cn-1}$	$V_{n-1}$	$C_{fn-1}$	$D_{n-1}$			
$C_n$	$C_{cn}$	$V_n$	$C_{fn}$	$D_n$			

附录 D  
栅控 p-n 结示意图  
(参考件)

D1 n 型外延层栅控 p-n 结的实例示于图 D1。

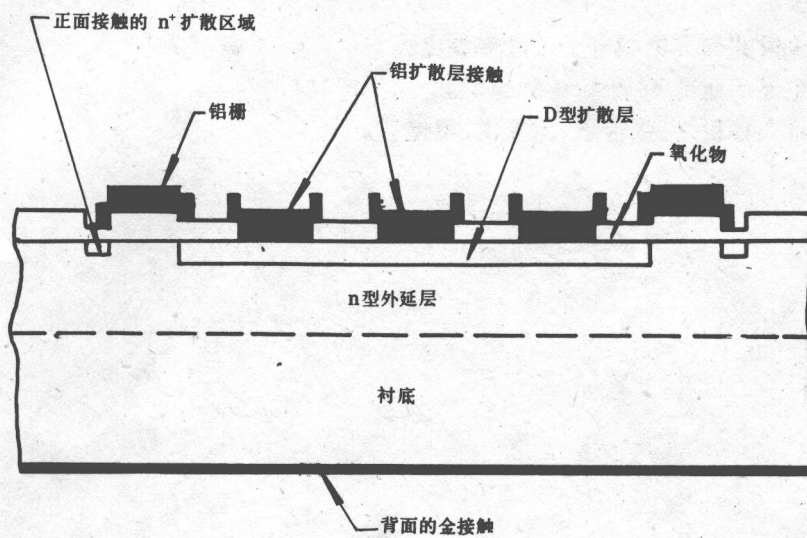


图 D1 在 n 型外延层上制作的栅控 p-n 结的剖面图

- 注：① 铝栅与外延层隔离，并与扩散区或注入区重叠。  
 ② 为了使背面与外延层接触，蒸发金与背面型成接触。  
 ③ 为了改善正面与外延层接触，在扩散区或注入区周围有一个金属化的 n<sup>+</sup>扩散区。

### 附录 E 循环测试数据 (参考件)

#### E1 平面二极管 C-V 循环测试精度的数据

样品编号	n	N	$\sigma$	% $\sigma$	样品编号	n	N	$\sigma$	% $\sigma$
1	18	0.784	0.018	2.3	20	18	7.75	0.504	6.5
	18	0.857	0.029	3.1		18	8.11	0.242	3.0
	15	1.11	0.056	5.0		18	6.82	0.446	6.5
2	15	0.885	0.027	3.1	11	18	7.18	0.504	6.5
	15	0.032	0.031	3.3		18	7.47	0.620	8.3
	15	1.07	0.047	3.4		18	18.92	1.193	6.3
6	18	3.93	0.248	6.3	12	15	19.21	1.22	6.4
	18	4.27	0.109	2.6		18	19.34	1.66	8.6
	18	4.31	0.117	2.7		15	19.99	1.74	8.7
7	18	7.53	0.458	6.1					

n——测量次数。

N——用  $10^{16}$  硼原子/ $\text{cm}^3$  表示的平均载流子浓度。

$\sigma$ ——用  $10^{16}$  硼原子/ $\text{cm}^3$  表示的标准误差值。

% $\sigma$ ——用平均载流子浓度的百分数表示的标准误差值。

**附加说明：**

本标准由中华人民共和国机械电子工业部提出。

本标准由机械电子工业部 46 所和 4 所起草。

本标准主要起草人孙毅之、张若愚、谢重木、韩艳芬。

版权专有 不得翻印

书号：155066 · 1-10811

定价： 3.00 元